

## مطالعه تأثیر نانوفیبر سلولز باکتریایی بر خواص فیلم نانوکامپوزیت کیتوزان-نانونقره و تعیین غلظت بهینه آن با روش سطح پاسخ

هاله جعفری<sup>۱</sup>، میرخلیل پیروزی فرد<sup>۲\*</sup>، محمد علیزاده خالدآباد<sup>۳</sup> و هادی الماسی<sup>۲</sup>

۱- دانشجوی دکتری گروه علوم و صنایع غذایی دانشکده کشاورزی دانشگاه ارومیه

۲- استادیار گروه علوم و صنایع غذایی دانشکده کشاورزی دانشگاه ارومیه

۳- دانشیار گروه علوم و صنایع غذایی دانشکده کشاورزی دانشگاه ارومیه

(تاریخ دریافت: ۹۴/۱۰/۶ تاریخ پذیرش: ۹۵/۰۲/۰۶)

### چکیده

در این پژوهش اثر نانوذرات نقره (AgNPs) در سطح ۱٪ وزنی و غلظت‌های مختلف نانوفیبر سلولزی‌باکتریایی (BCNF) (BCNF-۶، BCNF-۱۵-۶ و BCNF-۱۵-۱) بر روی خواص کششی (استحکام کششی (TS)، ازدیاد طول در نقطه شکست (EB) و مدول یانگ (YM))، نفوذپذیری نسبت به بخار آب (WVP)، حلالیت، تورم، خواص رنگی و ویژگی‌های ساختاری و حرارتی فیلم نانوکامپوزیت کیتوزان مورد بررسی قرار گرفت. برای تعیین مقدار بهینه نانو پرکننده BCNF از روش سطح پاسخ (RSM) تک عاملی استفاده گردید. هدف از بهینه سازی، به حداقل رساندن  $L$  در کنار کاهش WVP، حلالیت و تورم بود. نتایج نشان داد که افزودن AgNPs بر روی ویژگی‌های مکانیکی و رنگی فیلم‌های کیتوزان تأثیر منفی داشت. اما افزودن BCNF باعث بهبود ویژگی‌های فیلم‌های نانوکامپوزیت کیتوزان-نانونقره گردید. کمترین میزان WVP، حلالیت و تورم فیلم‌های نانوکامپوزیت به ترتیب در سطح ۶، ۴ و ۲٪ وزنی BCNF بود. با در نظر گرفتن تمامی پارامترهای فیزیکی و مکانیکی، مقدار بهینه محاسبه شده برای BCNF ۴/۵۵ بود. تصاویر SEM نشان داد BCNF بطور یکنواخت در ماتریس پلیمر پخش شده است. آزمون DSC نیز نشان داد که با افزودن BCNF، خواص حرارتی فیلم کیتوزان بهبود می‌یابد.

**کلید واژگان:** فیلم کیتوزان، نانوکامپوزیت، نانوذرات نقره، نانوفیبر سلولز باکتریایی، بهینه سازی.

\* مسئول مکاتبات: k.pirouzifard@yahoo.com

ساختار منحصر به فرد، BC ویژگی‌های برجسته ای مانند خلوص بالا، درجه بالای پلیمریزاسیون (تا ۸۰۰٪)، تبلور زیاد (۷۰-۸۰٪) و پایداری مکانیکی بالای دارد که کاملاً متفاوت از سلولز گیاهی است [۸]. یکی دیگر از ویژگی‌های قابل توجه، داشتن نسبت بُعد بالا و فراوانی گروه‌های هیدروکسیل فعل هست که آن را برای ترکیب با نانوساختارهای مختلف بوسیله فراهم کردن برهمنکش قدرتمند بین BC با نانو ذرات غیر آلی و پلیمری مناسب می‌سازد [۹]. در طی سال‌های اخیر، نانوفیبر سلولز باکتریایی (BCNF) در تولید نانوکامپوزیت‌های پلیمری و بیopolymerی مختلف مورد استفاده قرار گرفته است که نتایج آنها حاکی از بهبود خواص کاربردی فیلم‌ها در اثر افزودن BCNF می‌باشد [۱۰-۱۴].

بسته بندی ضد میکروبی یکی از امیدوار کننده ترین فن آوری‌های بسته بندی فعال مواد غذایی است که اغلب با اختلاط و یا تثبیت عوامل ضد میکروبی قوی به سیستم بسته بندی حاصل می‌شود. مهمترین هدف از بسته بندی ضد میکروبی عبارت است از دستیابی به غذاهای با کیفیت بالا، ایمنی و ماندگاری طولانی بوسیله کاهش، مهار و یا تعویق رشد میکرووارگانیسم‌هایی که ممکن است در مواد غذایی بسته بندی شده و یا در خود مواد بسته بندی وجود داشته باشند دون اینکه از مواد افزودنی زیادی در ترکیب ماده غذایی استفاده شود [۱۵].

مواد آلی و غیر آلی مختلفی به عنوان عوامل ضد میکروبی برای بسته بندی استفاده شده است. با این حال، مقاومت حرارتی پایین مواد آلی، استفاده گسترشده آنها را در سیستم‌های بسته بندی مواد غذایی محدود می‌کند. در مقابل، نانو ذرات فلزی غیر آلی، مانند نانوذرات اکسید طلا، نقره، روی و مس، با ثبات تر بوده، همچنین دارای نسبت سطح به حجم بالا و واکنش پذیری سطحی افزایش یافته هستند [۱۶]. در نتیجه نانوذرات فلزی به طور گسترشده ای در صنعت در طی دو دهه گذشته استفاده شده است. از میان نانوذرات فلزی، نانوذرات نقره (AgNPs) به دلیل داشتن اثر ضد میکروبی قابل توجه در برابر طیف گسترده‌ای از پاتوژن‌های منتقله از غذا، در بخش بسته بندی مواد غذایی مورد توجه زیادی قرار گرفته است. AgNP در ترکیب فیلم‌های بیopolymerی مختلف مورد استفاده قرار گرفته و تاثیر ضد میکروبی فیلم‌های حاصل، اثبات شده است [۱۷-۲۱].

هدف از این مطالعه بررسی تاثیر غلاظت BCNF بر روی ویژگی‌های فیزیکومکانیکی فیلم‌های نانوکامپوزیت

## ۱- مقدمه

کیتین و کیتوزان (CS) از گروه پلی ساکاریدهای خطی مت Shankل از نسبت‌های مختلف واحدهای N-استیل-۲-آمینو-۲-دی اکسی-D-گلوكز (N-استیل گلوكز آمین) و ۲-آمینو-۲-دی اکسی-D-گلوكز-گلوكوزامین) هستند که بوسیله پیوند (۴ → ۱) بهم وصل شده اند. زمانی که تعداد واحدهای N-استیل-گلوكوزامین بالاتر از ۵۰٪ است، بیopolymer کیتین نامیده می‌شود. اما، هنگامی که تعداد واحدهای N-استیل-گلوكوزامین پایین‌تر است، از عنوان کیتوزان استفاده می‌گردد [۱-۳]. میزان تولید کیتین در سال بیش از ۱۰ میلیون تن تخمین زده می‌شود. اگر چه کیتین برای اولین بار در سال ۱۸۱۱ (در حدود ۳۰ سال زودتر از سلولز) از قارچ‌های Braconnot جدا شد اما بر عکس سلولز تا مدت‌های طولانی بعنوان بیومس بدون استفاده باقی ماند [۱۰-۱۴]. کیتین و به خصوص کیتوزان به عنوان یک آمینو پلی ساکارید طبیعی که دارای ساختمان بی نظیر و خصوصیاتی چند منظوره هستند به طور وسیعی در پزشکی و صنعت مورد استفاده قرار می‌گیرند [۱۵].

اخیراً تلاش‌های بسیاری برای توسعه بسته بندی‌های نوین با هدف بهبود کیفیت و ایمنی صورت گرفته است. بویژه طراحی سیستم‌های فعال ضد میکروبی مورد توجه زیادی قرار گرفته است [۱۶]. کیتوزان بدليل داشتن ویژگی‌هایی نظیر زیست سازگاری، زیست تجزیه پذیری، ویژگی ضد میکروبی و آنتی اکسیدانی در کنار توانایی تولید فیلم، گزینه مناسبی برای بسته بندی مواد غذایی محسوب می‌شود. فیلم کیتوزان نسبت به آب نفوذ پذیری متوسط و نسبت به اکسیژن بازدارندگی خوبی دارد. همچنین فیلم‌های کیتوزان محکم، انعطاف پذیر و شفاف و مقاوم به چربی هستند [۱۷].

به منظور تقویت و بهبود خواص فیلم زیست تخریب پذیر کیتوزان از تقویت کننده‌های مختلفی استفاده می‌شود. یک دسته از این مواد نانوپرکننده‌های بر پایه سلولز می‌باشد. سلولز باکتریایی (BC) که توسط باکتری‌های تولید کننده استیک اسید مانند استوپاکترزایلینرس<sup>1</sup> و استوپاکتر هانسنی<sup>2</sup> تولید می‌شود دارای همان فرمول مولکولی سلولز گیاهی است اما ساختار منحصر به فرد و شبکه مخلخل پیچیده سه بعدی دارد. بدليل

1. Acetobacter xylinus

2. Acetobacter hansenii

قطر ۷mm قرار داده شد. داخل ویال ۳g سولفات کلسیم قرار داده شد و درپوش آن بسته شد. ویالها بعد از توزین، درون دسیکاتور حاوی محلول اشباع نمک پتسیم سولفات (RH=۹۷%) در دمای ۲۵°C قرار داده شدند. وزن ویالها هر ۳ ساعت یکبار بمدت ۲۴ ساعت اندازه گیری شد. منحنی تغییر وزن ویالها با گذشت زمان رسم شد و شیب خط با رگرسیون خطی محاسبه گردید. نرخ انتقال بخار آب (WVTR) از تقسیم شیب قسمت خطی منحنی بر مساحت منفذ درپوش ویال محاسبه شد. سپس WVP فیلم با استفاده از رابطه ۱ تعیین گردید:

$$WVP = \frac{WVTR}{P(R_1 - R_2)} \times L$$

L: ضخامت فیلم (m)

P: فشار بخار آب خالص در ۲۵°C (۳/۱۶۹ kPa)

R<sub>1</sub>: رطوبت نسبی در دسیکاتور (٪۹۷)

R<sub>2</sub>: رطوبت نسبی در داخل ویال (٪۰)

#### ۴-۲ اندازه گیری میزان حلالت در آب (WS)

نمونه های فیلم در ابعاد ۲×۲cm ۲ تهیه شد و برای رسیدن به وزن خشک اولیه، به مدت ۶ ساعت در آون ۱۱۰°C قرار گرفتند. نمونه ها پس از توزین (W1) در داخل ظروف دربدار حاوی ml ۵۰ آب مقطر غوطه ور شدند. ظروف درحالیکه به صورت مقطعی همزده می شدند، در دمای ۲۵°C به مدت ۱۸ ساعت قرار گرفتند. سپس فیلم ها از داخل آب خارج و دوباره به مدت ۶ ساعت در آون ۱۱۰°C قرار گرفتند تا به وزن ثابت برسند. با توزین دوباره نمونه ها، وزن خشک نهایی (W2) به دست آمد. درصد حلالت در آب از رابطه ۲ محاسبه گردید:

$$\%WS = \frac{W_1 - W_2}{W_1} \times 100$$

#### ۵-۲ اندازه گیری میزان تورم (swelling)

میزان تورم فیلم کیتوزان و نانوکامپوزیت های آن از طریق تعیین جذب آب توسط آنها مطابق با روش لاورنا و همکاران [۲۲] انجام گرفت. نمونه های فیلم به صورت قطعات کوچک (۲×۲cm) برش داده شده، به مدت یک شب در دسیکاتور گذاشته شدند. نمونه ها برای تعیین وزن خشک اولیه (W<sub>0</sub>) توزین شده و سپس در بشر حاوی ml ۵۰ آب مقطر به مدت ۳ ساعت قرار داده شدند. پس از گرفتن آب سطحی فیلم ها بوسیله کاغذ صافی،

و تعیین مقدار بهینه BCNF با استفاده از طرح آزمایشی سطح پاسخ (RSM) تک عاملی می باشد.

## ۲- مواد و روش ها

### ۱-۲ مواد

پودر کیتوزان با وزن مولکولی متوسط و درجه استیل زدایی بالای ۷۵٪ از شرکت سیگما (آلمان) تهیه شد. محلول کلوئیدی ppm ۴۰۰۰ نانو نقره با خلوص ۹۹/۹۹٪ و اندازه ذرات ۲۰nm از شرکت پیشگامان نانو مواد ایرانیان (مشهد) خریداری شد. نانوفیبر سلولز باکتریایی بصورت ژل سفید با ماده خشک ۱۱۳۳٪ از شرکت نانو نوین پلیمر (ساری) خریداری گردید. استیک اسید و گلیسرول از شرکت شارلو (اسپانیا) تهیه شد.

### ۲-۲ تهیه فیلم ها

برای تولید فیلم ها از روش ریخته گری استفاده گردید. محلول ۲٪ کیتوزان در استیک اسید ۱٪ در دمای ۹۰°C بمدت نیم ساعت هم زده شد. برای حذف ناخالصی ها و مواد نامحلول کیتوزان، از کاغذ صافی تحت خلاء استفاده گردید. بطور موازی، محلول AgNP (ادرصد وزن کیتوزان) و BCNF مشخص (در چهار سطح ۱/۵، ۳، ۴/۵ و ۶ درصد وزنی کیتوزان) مخلوط شده و بمدت ۲۰ دقیقه اولتراسوند گردید. مخلوط دو نانوذره بمدت ۴ ساعت در دمای اتاق هم زده شده و سپس به محلول آماده کیتوزان اضافه شد. محلول حاصل بمدت ۲ ساعت دیگر هم زده شد و بعد از افزایش دما تا ۵۰°C به میزان ۲۵٪ وزن کیتوزان، گلیسرول افزوده شد. یک ساعت در دمای اتاق هم زده شد و سپس بر روی پلیت های شیشه ای ریخته شد، فیلم ها بمدت ۷۲ ساعت در دمای محیط خشک شدند. به منظور تعديل رطوبت، همه فیلم های تولید شده، قبل از انجام آزمون ها بمدت ۴۸ ساعت در دسیکاتور با رطوبت نسبی ۵۰٪ و دمای ۲۵°C نگهداری شدند.

### ۳-۲ اندازه گیری نفوذ پذیری نسبت به بخار آب (WVP)

اندازه گیری انتقال بخار آب از فیلم کیتوزان و نانو کامپوزیت های آن به صورت وزن سنجی با استفاده از روش استاندارد ASTM E96 با اصلاحات جزئی انجام گرفت. نمونه فیلم روی درپوش ویال شیشه ای (به قطر ۲ cm و ارتفاع ۵cm) دارای منفذی به

### طالعه تاثیر نانوفیبر سلولز باکتریایی بر خواص فیلم نانو...

طیف FTIR فیلم کیتوزان و نانوکامپوزیت آن با استفاده از دستگاه طیف سنج (Nexus 670, USA) در محدوده عدد موجی  $4000-500\text{ cm}^{-1}$  و در تفکیک پذیری  $4\text{ cm}^{-1}$  مورد بررسی قرار گرفت. نمونه با KBr مخلوط شده و تحت فشار قرار گرفتند. در اثر فشار KBr ذوب شده و ترکیب مورد نظر را به صورت ماتریس درمی آورد. قرص KBr حاصل، در نگهدارنده دستگاه طیف سنج قرارداده شد و طیف عبوری آن ثبت گردید.

### ۱۰-۲- میکروسکوپ الکترونی روبشی (SEM)

مورفولوژی سطح و سطح مقطع فیلم ها پس از آزمون خواص مکانیکی، توسط میکروسکوپ الکترونی روبشی (KYKY-EM3200) در ولتاژ شتاب دهنده از ۱۰ تا ۲۰ کیلو ولت، مورد بررسی قرار گرفت. قبل از مشاهده، سطح نمونه ها بوسیله لایه نازکی از طلا پوشش داده شدند.

### ۱۱-۲- تجزیه و تحلیل آماری

در این پژوهش از طرح سطح پاسخ تک عاملی برای مطالعه و مدل سازی تاثیرات BCNF استفاده گردید. مدل ها با روش حداقل مربعات برآش شد و کفایت برآش با ضریب تبیین اصلاح شده ارزیابی گردید. به منظور ارزیابی معنی دار بودن ضرایب مدل ها از آنالیز رگرسیون و توزیع فیشر در سطح معنی دار  $0.05$  استفاده شد. برای بهینه سازی چند منظوره<sup>۳</sup> پس از حصول مدل های مناسب از روش تابع مطلوبیت<sup>۴</sup> استفاده گردید.

### ۳- نتایج و بحث

فیلم ها با ضخامت متوسط  $0.136\text{ mm}$  تولید شدند. ویژگی های رنگی و خواص مکانیکی نانوکامپوزیت های CS-AgNP و Ag-BCNF در جدول ۱ و ضرایب رگرسیون مدل ها در جدول ۲ آمده است. پارامتر  $L$  با مدل خطی<sup>۵</sup> و پاسخ های WVP، تورم،

نمونه ها توزین ( $W_s$ ) شدن و میزان تورم آنها با استفاده از رابطه ۳ محاسبه گردید:

$$\% \text{ تورم} = \frac{W_s}{W_d} \times 100$$

### ۶-۲- اندازه گیری خواص مکانیکی

خواص مکانیکی فیلم ها با آنالیز استحکام کششی (TS)، مدول یانگ (YM) و درصد ازدیاد طول در نقطه شکست (EB) طبق استاندارد ASTM D882-91 اندازه گیری شد. نمونه های فیلم به صورت نوارهای با ابعاد  $1\text{ cm} \times 8\text{ cm}$  بریده شده و بین ۲ فک دستگاه آزمون مکانیکی (مدل H100K-S) ساخت انگلستان) قرار داده شدند. فاصله اولیه بین دو فک  $50\text{ mm}$  و سرعت حرکت فک بالایی  $50\text{ mm/min}$  بود. برای هر فیلم، ۵ نمونه مورد آزمایش قرار گرفت و مقادیر میانگین گزارش شد.

### ۷-۲- اندازه گیری خواص رنگی

رنگ سطحی فیلم ها با دستگاه رنگ سنج Minolta, CR-400, Tokyo, Japan (۴۰۰) اندازه گیری شد. نمونه ها بر روی صفحه سفید استاندارد قرار گرفته و میزان رنگ، با استفاده از پارامتر های هانتر بر حسب  $L$  (روشنایی)،  $a$  (قرمزی-سبزی) و  $b$  (زردی-آبی) بیان گردید. در مورد هر نمونه، ۵ نقطه (نقطه مرکزی و ۴ نقطه در اطراف) مورد اندازه گیری قرار گرفت و میانگین داده ها گزارش شد.

### ۸-۲- اندازه گیری خواص حرارتی

برای اندازه گیری خواص حرارتی فیلم ها از دستگاه DSC (مدل Netzsch 200 F3 ساخت آلمان) استفاده شد. کالیبراسیون دستگاه توسط ایندیوم و نقره صورت گرفت. ظرف آلومنیومی حالی به عنوان مرجع و ازت بعنوان اتمسفر مورد استفاده قرار گرفت. نمونه هایی با وزن تقریبی  $0.03\text{ g}$  با سرعت  $10^\circ\text{C/min}$  در گستره دمایی صفر تا  $200^\circ\text{C}$  حرارت داده شدند. از روی الگوی گرمایی بدست آمده، دمای ذوب ( $T_m$ )، دمای انتقال شیشه ای ( $T_g$ ) تعیین شد.

### ۹-۲- طیف سنجی مادون قرمز تبدیل فوریه (FT-IR)

3. Multi objective optimization  
4. Desirability  
5. linear model

Lack of fit بی معنی ( $P > 0.05$ ) و رگرسیون‌ها معنی دار بودند و ضرایب  $R^2$  بالاتر از ۹۱٪ بود که نشان دهنده کفايت مدل‌های ارائه شده برای هر پاسخ می‌باشد.

$a$  و  $b$  با مدل کوادراتیک برآورد شدند و  $YM$  و  $EB$  با مدل درجه سوم فیت شدند. همچنان که در جدول ۲ نشان داده شده، در همه مدل‌ها

**Table 1.** Experimental design and responses related to the color and mechanical properties of chitosan nanocomposite films

Run	BCNF (% W/W)	TS (MPa)	EB (%)	YM (MPa)	<i>L</i>	<i>a</i>	<i>b</i>
Control	0	21.98	23.09	435.76	83/71	-0.90	38.08
1	0	18.10	25.44	306.73	65.51	2.49	40.23
2	0	19.68	25.60	271.70	64.65	2.25	40.50
3	1.5	29.07	17.84	700.67	68.08	2.22	40.02
4	3	35.74	14.13	1003.00	73.44	1.45	39.14
5	4.5	36.09	12.28	954.00	72.25	1.47	38.60
6	6	50.10	11.66	1103.75	76.29	-0.15	32.75
7	6	51.29	10.45	1039.40	75.57	-0.14	34.05

کاهش WVP در اثر افزودن نانو فیبرهای سلولز به ماتریس پلیمرهای مختلف توسط محققین گزارش شده است [۲۶ و ۲۷]. علت افزایش WVP تا غلظت ۲٪ ممکن است بدلیل عدم امکان تشکیل شبکه در غلظت‌های پایین و کاهش یکپارچگی پلیمر باشد.

## ۲-۳- حلایت

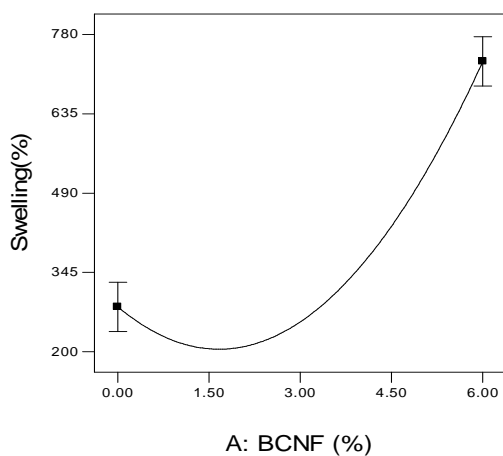
حلایت در آب شاخصی برای سنجش مقاومت فیلم‌ها در برابر آب به شمار می‌رود. حلایت در آب کیتوزان خالص ۲۷/۱٪ بود که در فیلم‌های نانوکامپوزیت CS/Ag مقدار آن اندکی افزایش یافت و به حدود ۲۸/۷٪ رسید. افزودن BCNF باعث کاهش حلایت نانوکامپوزیت‌های حاصل شد (شکل ۲). کمترین حلایت مریبوط به فیلم‌های حاوی ۴٪ BCNF می‌باشد. با افزایش غلظت BCNF مقدار حلایت فیلم‌ها افزایش پیدا کرد. ایجاد برهمکنش بین مولکولی بیشتر در حضور BCNF باعث کاهش حلایت فیلم می‌شود. افزایش حلایت در غلظت‌های بالای BCNF احتمالاً به دلیل نفوذ و پخش شدن توده‌های خود نانوذرات BCNF در آب می‌باشد که به افزایش حلایت فیلم منجر شده است.

## ۳-۱- نفوذ پذیری نسبت به بخار آب (WVP)

WVP یکی از مهمترین ویژگی‌های بسته بندی مواد غذایی است. از آنجا که بخار آب از دیواره بسته پلیمر عبور می‌کند، می‌تواند در کیفیت محصول موثر باشد [۲۳]. مقدار WVP در فیلم خالص کیتوزان  $8/71 \times 10^{-1}$  g/m.s.Pa بود که با افزودن نانوذرات نقره مقدار آن اندکی افزایش یافت و به حدود  $10^{-1}$  g/m.s.Pa رسید. این افزایش می‌تواند به دلیل کاهش برهمکنش بین زنجیره ای در کیتوزان و تشکیل حفره در ساختار فیلم باشد. این نتایج با نتایج بدست آمده توسط سانچز-والدز و همکاران [۲۴] و یوکسان و چیراچانچی [۲۵] مطابقت دارد. همچنین آنالیز داده‌ها (شکل ۱) نشان داد که تغییر غلظت BCNF در بازه ۰-۶٪ تاثیر معنی داری بر روی WVP داشت. همانطور که در شکل ۱ نشان داده شده است با افزایش غلظت BCNF تا حدود ۰.۲٪، WVP افزایش یافته و پس از آن کاهش می‌یابد. بیشترین کاهش برای غلظت ۰.۶٪ نانوفیبر بوده که در مقایسه با فیلم کیتوزان خالص کاهش ۲۳ درصدی را نشان میدهد. همچنین تصاویر SEM (شکل ۴) نشان میدهد که BCNF بخوبی در ماتریس کیتوزان پخش شده و با ایجاد یک مسیر زیگزاگی برای مولکول‌های بخار آب باعث کاهش WVP فیلم‌های نانوکامپوزیت شده است.

## طالعه تاثیر نانوفیر سلولز باکتریایی بر خواص فیلم نانو...

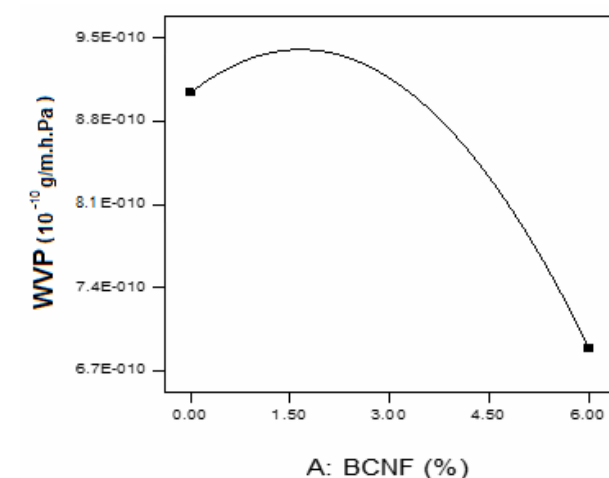
آب می‌شود. این گروه‌های آزاد در برخورد با آب پیوند هیدروژنی برقرار می‌کنند که منجر به افزایش وزن در کامپوزیت‌ها می‌شود. همچنین بدلیل اینکه BCNF نسبت به کیتوزان دارای ماهیت آبدوست‌تری می‌باشد، افزایش مقدار آن در فیلم باعث افزایش تورم می‌شود. نتایج حاصل با نتایج گائو و همکاران [۲۸] مطابقت داشت.



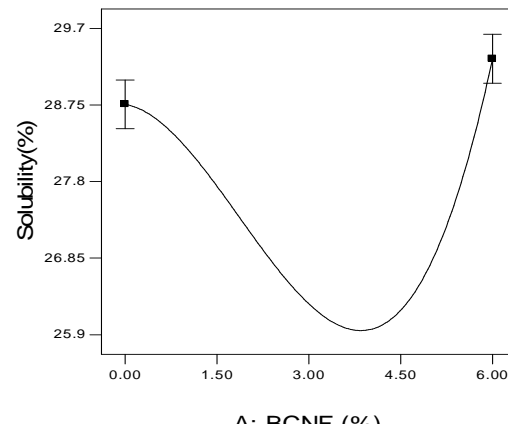
**Fig 3** Swelling of chitosan/AgNPs films as affected by CHNF concentration.

#### ۴-۳-رنگ

رنگ و شفافیت فیلم‌های بسته بندی، نقش مهمی در ظاهر و مقبولیت آنها دارد. معمولاً در بسته بندی اکثر مواد غذایی ترجیح داده می‌شود که پلیمر مورد استفاده بی‌رنگ و کاملاً شفاف بوده و نمایانگر ویژگی‌های ظاهری محصول بسته بندی شده باشد. شاخص‌های رنگ فیلم‌های کیتوزان و نانوکامپوزیت‌های آن در جدول ۱ آمده است. در فیلم‌های نانوکامپوزیت نسبت CS-Ag به فیلم کیتوزان خالص مقدار  $L$  کاهش پیدا کرده و مقادیر  $a$  و  $b$  افزایش یافته است. در فیلم‌های نانوکامپوزیت BCNF در مقایسه با فیلم‌های CS-Ag، با افزایش مقدار درصد BCNF شاخص  $L$  روند افزایشی و  $a$  و  $b$  روند کاهشی پیدا می‌کند. بیشترین مقدار  $L$  مربوط به فیلم‌های نانوکامپوزیت محتوی ۶٪ BCNF بود. این امر نشان می‌دهد که BCNF قادر است تاثیر منفی AgNPs بر روی خواص رنگی فیلم کیتوزان را کاهش دهد.



**Fig 1** WVP of chitosan/AgNPs films as affected by BCNF concentration



**Fig 2** Water solubility of chitosan/AgNPs films as affected by BCNF concentration.

#### ۳-۳-درصد تورم

شکل ۳ تاثیر غلظت‌های مختلف BCNF را بر روی درصد جذب آب فیلم‌های نانوکامپوزیت کیتوزان نشان می‌دهد. میزان تورم فیلم خالص کیتوزان ۵/۲۱٪ بود که با افزودن AgNP مقدار تورم افزایش یافته و به حدود ۷۰٪ رسید. افزودن BCNF تا غلظت حدود ۲٪ باعث کاهش تورم و از ۲-۶٪ باعث افزایش تورم در فیلم‌های نانوکامپوزیت کیتوزان شد. علت افزایش تورم در غلظت‌های بالای BCNF را می‌توان بواسیله برهمنکشن سلولز-آب توضیح داد. با افزایش مقدار BCNF در فیلم‌ها تعداد گروه‌های OH آزاد افزایش یافته و بنابراین باعث افزایش جذب

**Table 2** Estimated regression coefficients for the responses

	WVP (g/m.s.Pa)	Solubility (%)	Swelling (%)	L	a	b	TS (MPa)	EB (%)	YM (MPa)
Constant	$9.16 \times 10^{-10}$	26.28	254.64	70.82	1.78	39.65	33.71	14.05	936.90
BCNF	-1.10 **	-2.15 **	224.22 ***	5.29 ***	-1.20 ***	-3.25 ***	4.06	-7.05 ***	375.86 ***
$[BCNF]^2$	-1.20 **	2.76 ***	251.74 **	-	-0.64 *	-2.73 **	0.92	4.23 **	-262.02 ***
$[BCNF]^3$	-	2.43 **	-	-	-	-	11.84 *	-	-
R <sup>2</sup>	0.91	0.99	0.98	0.93	0.95	0.95	0.99	0.99	0.96
Regression									
F ratio	19.28	99.24	135.8	66.53	39.28	34.71	104.96	245.57	73.87
P	<0.01	<0.01	<0.01	<0.01	<0.01	<0.01	<0.01	<0.01	<0.01
Lack of fit									
F ratio	6.47	0.064	3.37	9.35	11.36	2.71	8.10	1.68	6.27
P	0.13	0.82	0.23	0.10	0.08	0.27	0.10	0.37	0.14

\* Significant at 5% level.

\*\* Significant at 1% level.

\*\*\* Significant at 0.1% level

با افزودن نانوتفرده دمای ذوب نیز تغییر قابل توجهی نداشت اما در حضور BCNF، دمای ذوب بیشتر شد و فیلم حاوی ۶٪ BCNF، بالاترین دمای ذوب را نشان داد ( $174/0^{\circ}\text{C}$ ). این پدیده را می‌توان به برهمکنش‌های بین سطحی قوی بین کیتوزان و BCNF و در نتیجه تشکیل نواحی بلورین متراکم و چگال در ماتریس بیopolymer نسبت داد. نتایج آزمون DSC نشان داد که تأثیر BCNF بر روی خواص حرارتی کیتوزان بیشتر از نانوذرات نفره می‌باشد که این امر را می‌توان به خواص مورفولوژیکی این دو ترکیب نسبت داد چرا که BCNF نسبت منظر بالاتری داشته و همچنین سازگاری آن با کیتوزان بیشتر است و به همین دلیل تأثیر بیشتری بر روی بهبود خواص حرارتی کیتوزان دارد.

### ۴-۵- خواص حرارتی

مقادیر دمای انتقال شیشه‌ای در نقطه میانی ( $T_g$ ) و دمای ذوب ( $T_m$ )، فیلم‌های نانوکامپوزیت در جدول ۳ آورده شده است. فیلم خالص کیتوزان انتقال شیشه‌ای در دمای  $75/54^{\circ}\text{C}$  نشان داد که با یافته‌های بیگ زاده و همکاران [۲۹] مطابقت دارد. افزودن ۱/۵٪ نانوتفرده، تأثیر قابل توجهی بر روی دمای  $T_g$  نداشت اما BCNF بطور چشمگیری دمای انتقال شیشه‌ای را تحت تأثیر قرار داد. با افزایش میزان نانوفیبر سلولز باکتریایی، دمای  $T_g$  بیشتر شد که نشان دهنده تأثیر مطلوب این نانوپرکنندۀ بر نواحی آمورف کیتوزان و کاهش تحرک زنجیرها در این نواحی می‌باشد.

**Table 3** Thermal properties of chitosan films containing AgNP and BCNF

Material	$T_g$ (°C)	$T_m$ (°C)
CS	75.54	163.23
CS/Ag	76.77	161.11
CS/Ag/BCNF-1.5%	89.21	169.45
CS/Ag/BCNF-6%	93.13	174.00

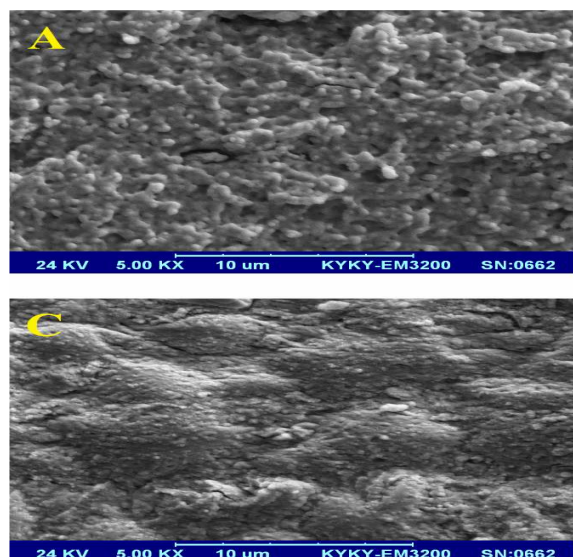
استحکام کششی و مدول یانگ و کاهش ازدیاد طول در نقطه شکست فیلم‌های نانوکامپوزیت CS-AgNP شد. کاهش استحکام کششی در این نانوکامپوزیت می‌تواند در اثر کاهش برهمکنش بین زنجیرهای کیتوزان به دلیل افزودن نانو ذرات نفره باشد. نتایج مشابهی در مورد افزودن نانو ذرات نفره به ماتریس پلیمر ژلاتین گزارش شده است [۳۱]. این امر نشان دهنده سازگاری پایین نانوذرات نفره با فیلم کیتوزان می‌باشد.

### ۶- خواص مکانیکی

استحکام کششی و کشش پذیری از پارامترهای مهم فیلم‌ها هستند که می‌تواند بعنوان شاخصی از فیلم برای حفظ یکپارچگی و مقاومت فیلم در برابر استرس‌های محیطی در طی کاربردهای بسته بندی بکار رود [۳۰]. ویژگی‌های مکانیکی حاصل از آزمون کشش فیلم کیتوزان و نانوکامپوزیت‌های آن در جدول ۱ نشان داده شده است. افزودن AgNP در سطح ۱٪ باعث کاهش

## طالعه تاثیر نانوفیبر سلولز باکتریایی بر خواص فیلم نانو...

خلل و فرج در ساختار آن بسیار کم است (شکل ۴-A). این امر نشان دهنده آرایش بین مولکولی منظم بین رشته های کیتوزان است که آزمون XRD نیز وجود ماهیت نیمه بلورین در کیتوزان AgNPs را تأیید نمود. شکل ۴-B سطح شکست فیلم حاوی AgNPs را نشان می دهد. نقاط و برجستگی های موجود در بستر فیلم را می توان به نانوذرات نقره نسبت داد. همان طور که مشخص است، این نقاط بطور کاملاً یکنواخت در داخل شبکه فیلم پخش شده اند که نشان دهنده سازگاری سوسپانسیون نانونقره با محلول فیلم CS-کیتوزان می باشد. شکل ۴-C و D نیز تصاویر فیلم های BCNF-BCNF و AgNP-BCNF حاوی ۱/۵٪ (C) و ۴/۵٪ (D) را نشان می دهد. افزایش زبری و میزان ناهمواری ها با افزودن نانوفیبر سلولز کاملاً مشهود است. با این وجود، BCNF نیز بصورت کاملاً یکنواخت در بستر بیopolymer پخش شده است. با افزایش غلظت BCNF تا ۴/۵٪، میزان اتصالات بیشتری بین رشته های BCNF مشاهده می شود. اما همین توده های ریز تشکیل شده نیز بطور کاملاً یکنواخت در ماتریکس فیلم پخش شده اند. سازگاری نسبتاً خوب BCNF با کیتوزان، موجب پخش یکنواخت آن در شبکه فیلم کیتوزان، ایجاد برهمکنش های بین مولکولی بیشتر و درنتیجه کاهش احتمال تردد شدن نانوفیبرها می شود. به نحوی که در داخل بستر فیلم، نمی توان دو فاز مجزا مربوط به بیopolymer و نانوفیبرها را تشخیص داد.

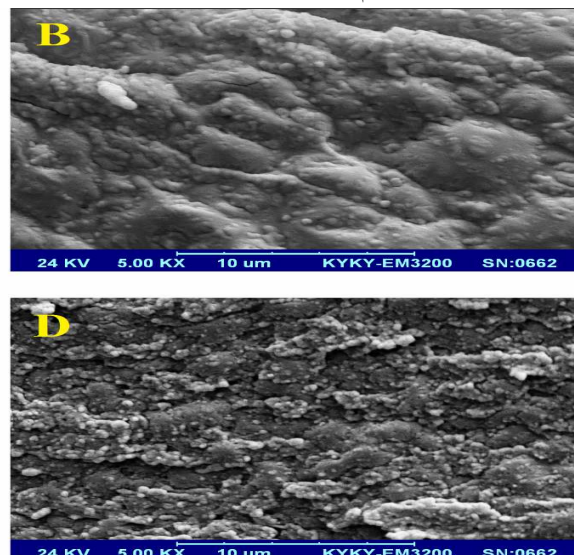


**Fig 4** SEM of cross sections of films from chitosan and chitosan-based nanocomposites: (A) neat chitosan; (B) chitosan/AgNP; (C) chitosan/Ag/BCNF-1.5% and (D) chitosan/Ag/BCNF-4.5%.

BCNF باعث افزایش استحکام کششی و مدول یانگ و کاهش ازدیاد طول در نقطه شکست فیلمها شد. بیشترین مقدار TS و YM مربوط به فیلم های حاوی BCNF٪۶ می باشد که به ترتیب ۲/۳ و ۲/۵ برابر مقدار آن در فیلم کیتوزان خالص بود. اما با افزایش غلظت BCNF انعطاف پذیری فیلم های حاصل کاهش پیدا کرد. بیشترین مقدار کاهش مربوط به فیلم های حاوی BCNF٪۶ می باشد که کاهشی حدود ۲۲۰٪ را نشان داد. کاهش در مقدار EB فیلم های نانوکامپوزیت ممکن است به دلیل افزایش پیوندهای بین رشته ای و در نتیجه محصور شدن تحرک رشته های پلیمر باشد [۳۲]. افزایش استحکام و مدول نانوکامپوزیت ها نشان دهنده پخش یکنواخت فیبرها در ماتریس پلیمر و برهمکنش های چسبندگی خوب بین فیبر و پلیمر می باشد [۳۳]. این نتایج را می توان با مورفولوژی ذاتی BC، شبکه نانوفیبری آن و تشابه ساختار دو پلی ساکارید کیتوزان و سلولز توجیه نمود. بهبود ویژگی های مکانیکی با افزودن BCNF (یا سایر نانو تقویت کننده های سلولزی) به ماتریس پلیمرهای مختلف گزارش شده است [۱۱، ۳۴، ۳۵، ۳۶ و ۳۷].

### ۷-۳- SEM و میکروسکوپ

شکل ۴ تصاویر SEM از سطح مقطع فیلم خالص کیتوزان و فیلم های نانوکامپوزیت را نشان می دهد. مشخص است که فیلم خالص کیتوزان دارای تراکم بین مولکولی بالایی بوده و میزان



شود. این امر نیز نشان دهنده ایجاد پیوندهای جدید در حضور BCNF می‌باشد و نشان دهنده سازگاری نانو تعویت کننده انتخاب شده با بیوپلیمر کیتوزان است.

### ۶-۹-۳- بهینه سازی و مطلوبیت<sup>۱</sup>

باتوجه به اینکه پاسخ‌های مورد نظر در بهینه سازی، بطور مناسبی برآرش شده بودند ( $R^2 = 0.91$  بالا)، روش تابع مطلوبیت در بهینه سازی چند منظور بکار گرفته شد. مقدار تابع مطلوبیت برای تک تک پاسخ‌ها با روش عددی برآورد شد و مقدار تابع مطلوبیت بصورت میانگین هندسی تابع‌های مطلوبیت پاسخ‌ها با استفاده از رابطه زیر محاسبه گردید:

$$D = \left( \prod_{i=1}^n d_i \right)^{1/n}$$

نتایج حاصل از تجزیه و تحلیل آمار که منجر به یافتن مقدار بهینه براساس پاسخ‌های فیزیکی و مکانیکی فیلم‌ها گردید در جدول ۴ ارائه شده است. براساس نتایج به دست آمده مقدار بهینه نانو فیبر سلولز باکتریایی ۴/۵۵٪ تعیین شد که مطلوبیت مرکب ۶۰٪ را در پی داشت.

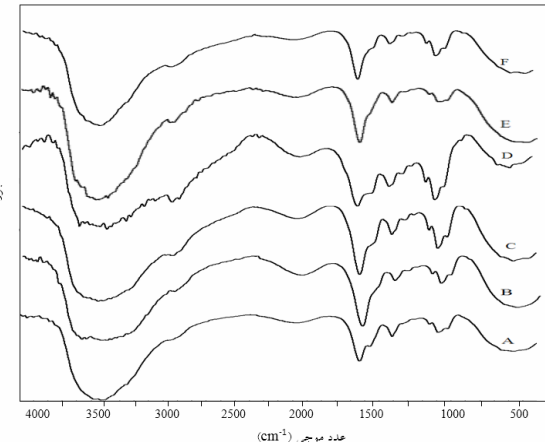
### ۴- نتیجه گیری

فیلم‌های بیونانوکامپوزیت در مقایسه با فیلم‌های سنتزی با منشأ نفتی دارای ۳ ایراد عمده می‌باشند: خواص مکانیکی ضعیف، نفوذپذیری بالا نسبت به بخار آب و مقاومت کم نسبت به آب. در این مطالعه برای بهبود ویژگی‌های فیزیکی و مکانیکی فیلم‌های فعال از BCNF و CS-AgNPs استفاده گردید و مقدار بهینه آن با استفاده از روش تابع مطلوبیت تعیین شد. خواص فیلم‌های BCNF و مقدار AgNPs متاثراً CS-AgNPs-CHNF بود. در کل، افزودن ۱٪ AgNPs به فیلم‌های کیتوزان تاثیر منفی بر روی ویژگی‌های فیزیکومکانیکی فیلم‌ها داشت. مقدار BCNF بر روی حلالیت، تورم،  $L$  و  $TS$  تاثیر مثبت داشت اما تاثیر آن بر روی  $WVP$ ،  $a$ ،  $b$  و  $EB$  منفی بود.

6. Desirability  
7. Combined desirability

### FTIR -۸-۳

طیف سنجی FTIR اغلب به عنوان یک ابزار مناسب جهت تعیین گروه‌های عاملی خاص و یا پیوندهای شیمیایی که در یک ماده وجود دارد، مورد استفاده قرار می‌گیرد [۳۸]. نتایج طیف سنجی مادون قرمز فیلم کیتوزان و نانوکامپوزیت‌های آن در شکل ۵ نشان داده شده است. پیکهای بین عدد موجی  $3600-3300\text{ cm}^{-1}$  مربوط به باندهای کششی OH است که با باندهای کششی NH همپوشانی کرده است. باند ظاهر شده در  $1636\text{ cm}^{-1}$  مربوط به ارتعاش گروه‌های کربونیل CO و باند  $1568\text{ cm}^{-1}$  را می‌توان به گروه‌های آمید II، نسبت داد. باند  $1410\text{ cm}^{-1}$  مربوط به ارتعاش خمثی گروه OH، پیک  $1150\text{ cm}^{-1}$  مربوط به کشش نامتقارن پل C-O-C و باند جذبی در  $1018\text{ cm}^{-1}$  او  $1091\text{ cm}^{-1}$  را می‌توان به ارتعاشات اسکلتی کششی C-O نسبت داد [۳۹، ۴۰، ۴۱ و ۴۲]. در طیف مربوط به فیلم نانوکامپوزیت CS/Ag حذف شانه موجود در  $1568\text{ cm}^{-1}$  مربوط به پیوند خمثی NH نشان دهنده برهمکنش ایجاد شده بین کیتوزان و AgNP می‌باشد.



**Fig 5** FT-IR analysis of neat chitosan (A); chitosan/Ag/BCNF-1.5% (B); chitosan/Ag/BCNF-3%; chitosan/Ag/BCNF-4.5% and chitosan/Ag/BCNF-6%.

در طیف‌های مربوط به CS/Ag/BCNF با افزایش غلظت BCNF در ماتریس پلیمر، غلظت پیوندهای هیدروژنی افزایش پیدا کرده و باعث پهن شدن پیک ناحیه  $3500-3400\text{ cm}^{-1}$  می‌شود. همچنین شانه موجود در  $1568\text{ cm}^{-1}$  ضعیفتر شده و با پیک گروه کربونیل آمیدی همپوشانی کرده و دیده نمی-

- & Ribeiro, S. J., 2011. Bacterial cellulose/poly (3-hydroxybutyrate) composite membranes. *Carbohydrate Polymers*, 83(3), 1279-1284.
- [9] Huang, J., & Gu, Y., 2011. Self-assembly of various guest substrates in natural cellulose substances to functional nanostructured materials. *Current Opinion in Colloid & Interface Science*, 16(6), 470-481.
- [10] George, J., Kumar, R., Sajeekumar, V. A., Ramana, K. V., Rajamanickam, R., Abhishek, V., & Nadanasabapathy, S., 2014. Hybrid HPMC nanocomposites containing bacterial cellulose nanocrystals and silver nanoparticles. *Carbohydrate polymers*, 105, 285-292.
- [11] Fernandes, S. C., Oliveira, L., Freire, C. S., Silvestre, A. J., Neto, C. P., Gandini, A., & Desbrières, J., 2009. Novel transparent nanocomposite films based on chitosan and bacterial cellulose. *Green Chemistry*, 11(12), 2023-2029.
- [12] Figueiredo, A. G., Figueiredo, A. R., Alonso-Varona, A., Fernandes, S., Palomares, T., Rubio-Azpeitia, E., & Freire, C. S., 2013. Biocompatible Bacterial Cellulose-Poly (2-hydroxyethyl methacrylate) Nanocomposite Films. *BioMed research international*, 2013.
- [13] Qiao, K., Zheng, Y., Guo, S., Tan, J., Chen, X., Li, J. & Wang, J., 2015. Hydrophilic nanofiber of bacterial cellulose guided the changes in the micro-structure and mechanical properties of nf-BC/PVA composites hydrogels. *Composites Science and Technology*, 118, 47-54.
- [14] Zhijiang, C., & Guang, Y., 2011. Optical nanocomposites prepared by incorporating bacterial cellulose nanofibrils into poly (3-hydroxybutyrate). *Materials Letters*, 65(2), 182-184.
- [15] Appendini, P., Hotchkiss, J.H., 2002. Review of Antimicrobial Food Packaging. *Innovative Food Science and Emerging Technologies*. 3:113.
- [16] Llorens, A., Lloret, E., Picouet, P. A., Trbojevich, R., & Fernandez, A. (2012). Metallic-based micro and nanocomposites in food contact materials and active food packaging. *Trends in Food Science & Technology*, 24(1), 19-29.
- [17] Islam, Md. S., Islam Md, A. M., Sarker, M., Karim, M. M., Masum, S., & Md Yeum, J. H., 2011. Fabrication of PLLA/silver nanoparticle

**Table 4** Optimization of CS/Ag/BCNF nanocomposite films based on physicomechanical properties

Factor	Goal	Optimized value
BCNF (%)	Min	4.55
WVP (g/m.s.Pa)	Min	$8.34 \times 10^{-10}$
Solubility (%)	Min	26.19
Swelling (%)	Min	427.65
<i>L</i>	Max	73.45
<i>a</i>	Min	1.03
<i>b</i>	Min	37.37
TS (MPa)	Max	39.69
EB (%)	Max	11.54
YM (MPa)	Max	1058.84

## ۵- منابع

- [1] Kurita, K., 2006. Chitin and chitosan: functional biopolymers from marine crustaceans. *Marine Biotechnology*, 8(3), 203-226.
- [2] Khor, E., & Lim, L. Y., 2003. Implantable applications of chitin and chitosan. *Biomaterials*, 24(13), 2339-2349.
- [3] Rinaudo, M., 2006. Chitin and chitosan: properties and applications. *Progress in polymer science*, 31(7), 603-632.
- [4] Muzzarelli, R. A., Boudrant, J., Meyer, D., Manno, N., DeMarchis, M., & Paoletti, M. G., 2012. Current views on fungal chitin/chitosan, human chitinases, food preservation, glucans, pectins and inulin: A tribute to Henri Braconnot, precursor of the carbohydrate polymers science, on the chitin bicentennial. *Carbohydrate Polymers*, 87(2), 995-1012.
- [5] Mourya, V. K., & Inamdar, N. N., 2008. Chitosan-modifications and applications: opportunities galore. *Reactive and Functional polymers*, 68(6), 1013-1051.
- [6] Balasubramanian, A. I. S. H. W. A. R. Y. A., Rosenberg, L. E., Yam, K., & Chikindas, M. L., 2009. Antimicrobial packaging: potential vs. reality—a review. *J Appl Pack Res*, 3(4), 193-221.
- [7] Fernandez, Saiz, P., 2012. Chitosan and Chitosan Blends as Antimicrobials. *Antimicrobial Polymers*, 71-99.
- [8] Barud, H. S., Souza, J. L., Santos, D. B., Crespi, M. S., Ribeiro, C. A., Messaddeq, Y.,

- Materials Science and Engineering: C*, 30(6), 891-897.
- [26] Azeredo, H., Mattoso, L. H. C., Avena-Bustillos, R. J., Munford, M. L., Wood, D., & McHugh, T. H., 2010. Nanocellulose reinforced chitosan composite films as affected by nanofiller loading and plasticizer content. *Journal of Food Science*, 75(1), N1-N7.
- [27] George, J., 2012. High performance edible nanocomposite films containing bacterial cellulose nanocrystals. *Carbohydrate Polymers*, 87(3), 2031-2037.
- [28] Gao, C., Wan, Y., He, F., Liang, H., Luo, H., & Han, J., 2011. Mechanical, moisture absorption, and photo degradation behaviors of bacterial cellulose nanofiber-reinforced unsaturated polyester composites. *Advances in Polymer Technology*, 30(4), 249-256.
- [29] Beigzadeh Ghelejlu, S., Esmaiili, M., & Almasi, H., 2016. Characterization of chitosan-nanoclay bionanocomposite active films containing milk thistle extract. *International Journal of Biological Macromolecules*, 86, 613-621.
- [30] Yang, L., & Paulson, A. T., 2000. Effects of lipids on mechanical and moisture barrier properties of edible gellan film. *Food Research International*, 33(7), 571-578.
- [31] Kanmani, P., & Rhim, J. W., 2014. Physicochemical properties of gelatin/silver nanoparticle antimicrobial composite films. *Food chemistry*, 148, 162-169.
- [32] Lu, Y., Weng, L., & Cao, X., 2005. Biocomposites of plasticized starch reinforced with cellulose crystallites from cottonseed linter. *Macromolecular Bioscience*, 5(11), 1101-1107.
- [33] Gardner, D. J., Oporto, G. S., Mills, R., & Samir, M. A. S. A., 2008. Adhesion and surface issues in cellulose and nanocellulose. *Journal of Adhesion Science and Technology*, 22(5-6), 545-567.
- [34] Wan, Y. Z., Luo, H., He, F., Liang, H., Huang, Y., & Li, X. L., 2009. Mechanical, moisture absorption, and biodegradation behaviours of bacterial cellulose fibre-reinforced starch biocomposites. *Composites Science and Technology*, 69(7), 1212-1217.
- [35] Oun, A. A., & Rhim, J. W., 2015. Preparation and characterization of sodium carboxymethyl cellulose/cotton linter cellulose composite nanospheres using electrospray technique for antibacterial applications. *International Journal of Basic and Applied Sciences*, 11, 59-69.
- [18] Yang, G., Xie, J., Deng, Y., Bian, Y., & Hong, F., 2012. Hydrothermal synthesis of bacterial cellulose/AgNPs composite: A green route for antibacterial application. *Carbohydrate Polymers*, 87, 2482-2487.
- [19] Maity, D., Mollick, M. M. R., Mondal, D., Bhowmick, B., Bain, M. K., Bankura, K., & Chattopadhyay, D., 2012. Synthesis of methylcellulose-silver nanocomposite and investigation of mechanical and antimicrobial properties. *Carbohydrate polymers*, 90(4), 1818-1825.
- [20] Fortunati, E., Peltzer, M., Armentano, I., Jiménez, A., & Kenny, J. M., 2013. Combined effects of cellulose nanocrystals and silver nanoparticles on the barrier and migration properties of PLA nano-biocomposites. *Journal of Food Engineering*, 118(1), 117-124.
- [21] Park, S. H., Ko, Y. S., Park, S. J., Lee, J. S., Cho, J., Baek, K. Y., & Lee, J. H., 2016. Immobilization of silver nanoparticle-decorated silica particles on polyamide thin film composite membranes for antibacterial properties. *Journal of Membrane Science*, 499, 80-91.
- [22] Lavorgna, M., Piscitelli, F., Mangiacapra, P., & Buonocore, G. G., 2010. Study of the combined effect of both clay and glycerol plasticizer on the properties of chitosan films. *Carbohydrate Polymers*, 82(2), 291-298.
- [23] Kanatt, S. R., Rao, M. S., Chawla, S. P., & Sharma, A., 2012. Active chitosan-polyvinyl alcohol films with natural extracts. *Food Hydrocolloids*, 29(2), 290-297.
- [24] Sánchez-Valdes, S., Ortega-Ortiz, H., Ramos-de Valle, L. F., Medellín-Rodríguez, F. J., & Guedea-Miranda, R., 2009. Mechanical and antimicrobial properties of multilayer films with a polyethylene/silver nanocomposite layer. *Journal of applied polymer science*, 111(2), 953-962.
- [25] Yoksan, R., & Chirachanchai, S., 2010. Silver nanoparticle-loaded chitosan-starch based films: Fabrication and evaluation of tensile, barrier and antimicrobial properties.

- Vázquez-Lepe, M., Kovalenko, Y., & Luna-Bárcenas, G., 2015. Chitosan/silver nanocomposites: Synergistic antibacterial action of silver nanoparticles and silver ions. *European Polymer Journal*, 67, 242-251.
- [41] Feng, F., Liu, Y., Zhao, B., & Hu, K., 2012. Characterization of half N-acetylated chitosan powders and films. *Procedia Engineering*, 27, 718-732.
- [42] Das, S., Das, M. P., & Das, J., 2013. Fabrication of porous chitosan/silver nanocomposite film and its bactericidal efficacy against multi-drug resistant (MDR) clinical isolates. *Journal of Pharmacy Research*, 6(1), 11-15.
- nanofibril composite films. *Carbohydrate polymers*, 127, 101-109.
- [36] Wu, T., Farnood, R., O'Kelly, K., & Chen, B., 2014. Mechanical behavior of transparent nanofibrillar cellulose-chitosan nanocomposite films in dry and wet conditions. *journal of the mechanical behavior of biomedical materials*, 32, 279-286.
- [37] Yudianti, R., & Karina, M., 2012. Development of nanocomposites from bacterial cellulose and poly (vinyl alcohol) using casting-drying method. *Procedia Chemistry*, 4, 73-79.
- [38] Phisalaphong, M., & Jatupaiboon, N., 2008. Biosynthesis and characterization of bacteria cellulose-chitosan film. *Carbohydrate Polymers*, 74(3), 482-488.
- [39] Azeez, A. A., Rhee, K. Y., Park, S. J., Kim, H. J., & Jung, D. H., 2013. Application of cryomilling to enhance material properties of carbon nanotube reinforced chitosan nanocomposites. *Composites Part B: Engineering*, 50, 127-134.
- [40] Kumar-Krishnan, S., Prokhorov, E., Hernández-Iturriaga, M., Mota-Morales, J. D.,

## Studying of the effect of bacterial cellulose nanofiber on the properties of chitosan-nanosilver nanocomposite film and determination of its optimum concentration by surface response method

Hale Jafari<sup>1</sup>, MirKhalil Pirouzi<sup>\*2</sup>, Mohammad Alizadeh Khaledabad<sup>3</sup>, Hadi Almasi<sup>2</sup>

1. Ph.D student of Food Science and Technology, Faculty of Agriculture, Urmia University, Urmia, Iran
2. Assistant Professor of Food Science and Technology, Faculty of Agriculture, Urmia University, Urmia, Iran
3. Associate Professor of Food Science and Technology, Faculty of Agriculture, Urmia University, Urmia, Iran

(Received: 2015/12/26 Accepted: 2016/04/25)

In this study, the effects of silver nanoparticles (AgNPs) at 1% wt and different concentrations of bacterial cellulose nanofiber (BCNF) (1.5-6% wt) on tensile properties (tensile strength -TS, elongation at break-EB, and Young's modulus -YM), water vapor permeability (WVP), solubility, swelling, color properties and structural characteristics of chitosan nanocomposite films were studied. Response surface methodology (RSM) was used to determine the optimum amount of BCNF nanofiller. The optimization was based on maximizing TS, YM, EB, L\*and decreasing WVP, solubility and swelling. The results showed that the AgNPs had a negative effect on mechanical and color properties of chitosan films. But incorporation of BCNF in the films improved their mechanical and barrier properties significantly. Lowest WVP, solubility and swelling of nanocomposite films was respectively for 6, 4 and 2%wt of BCNF content. Considering all physical and mechanical parameters, the optimal value calculated for BCNF, was 4.55%. SEM images showed BCNF uniformly distributed in the polymer matrix. DSC analysis confirmed that the addition of BCNF causes to improve the thermal properties of chitosan film.

**Keywords:** Chitosan film; nanocomposite; silver nanoparticles; bacterial cellulose nanofiber; optimization.